

A kalciumanyagcsere vizsgálata: Honnan hová vezet?

Dr. Lakatos Péter

Semmelweis Egyetem I. sz. Belgyógyászati Klinika



- Kalcium nélkül nincs élet!
- Szűk határok között mozoghat csak a kalcium konc.
- Szárazföldi élet → bizonytalan kalcium felvétel
- Bonyolult szabályozó mechanizmus alakult ki
- Csont: kalcium raktár
- A raktár tömegének csökkenő állapota: osteoporosis

Megoldatlan: az elveszett csont visszatöltése.

A gímszarvas ciklikus fiziológiai osteoporosisa



Orosz László

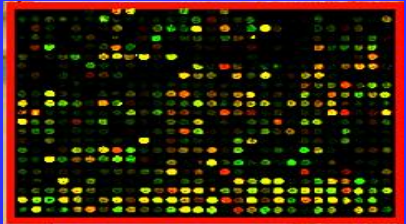


Gímszarvas (*Cervus elaphus*)

Mintavétel: bordacsont

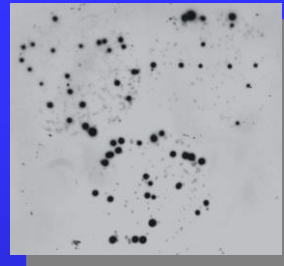


cDNA microarray analízis



„Data mining”

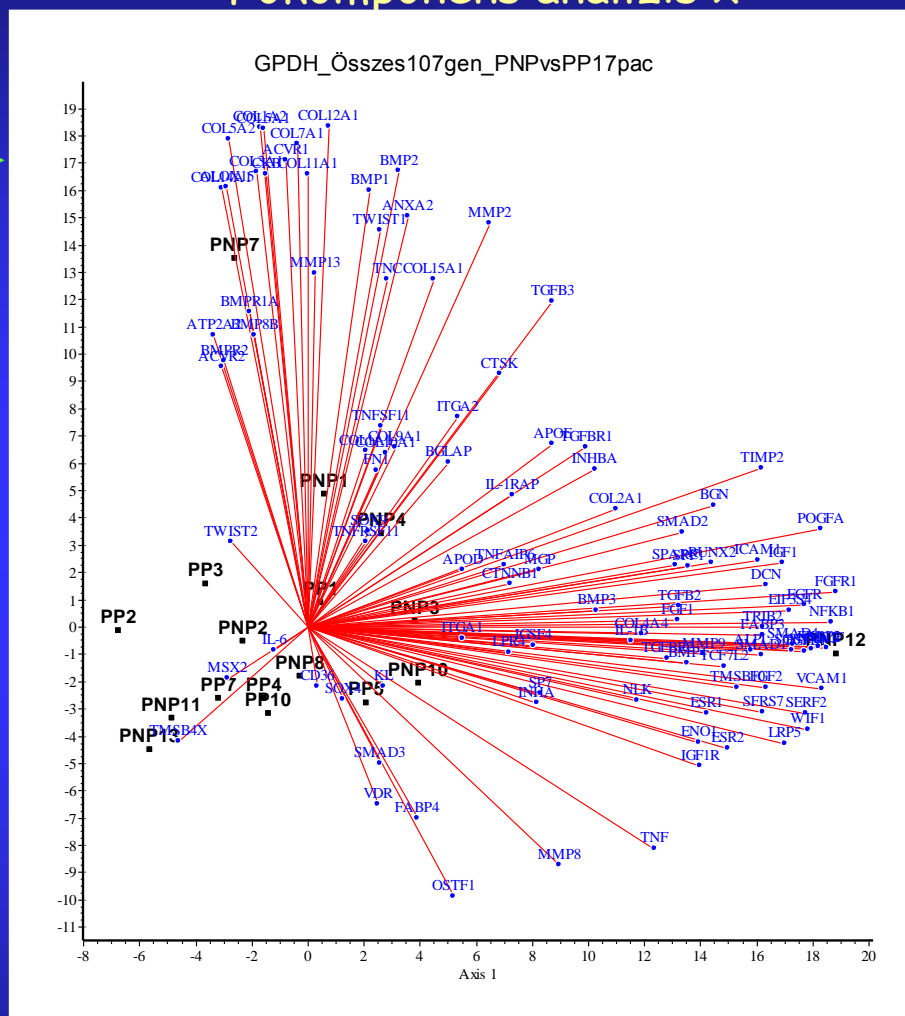
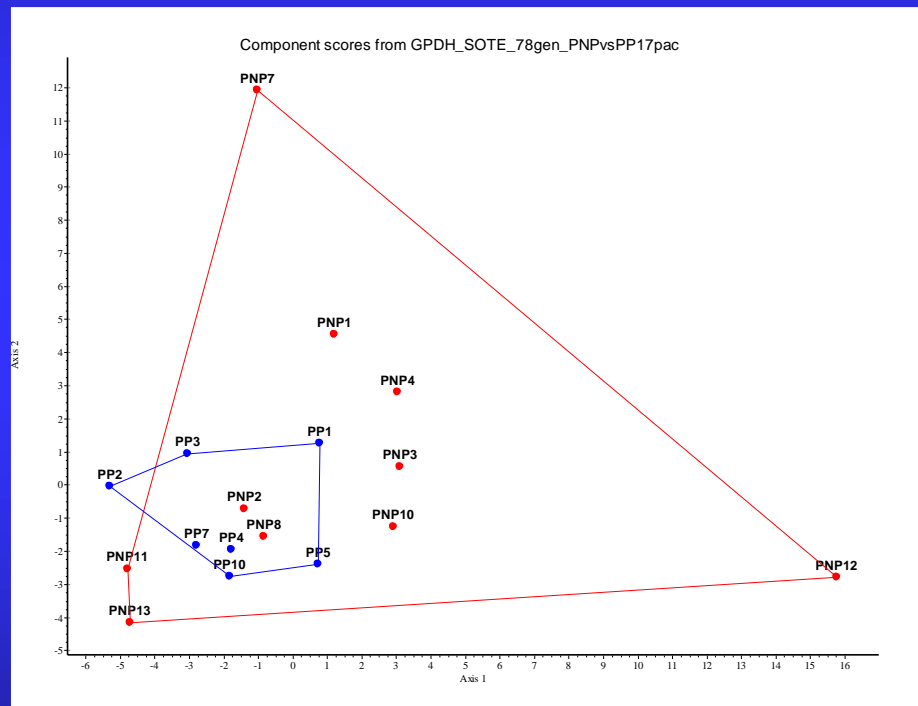
mRNA izolálás
cDNS könyvtárak készítése
és szűrése



Eltérően expresszálódó gének

Főkomponens analízis x

Eltérően expresszálódó gének
gímszarvas gének esetén



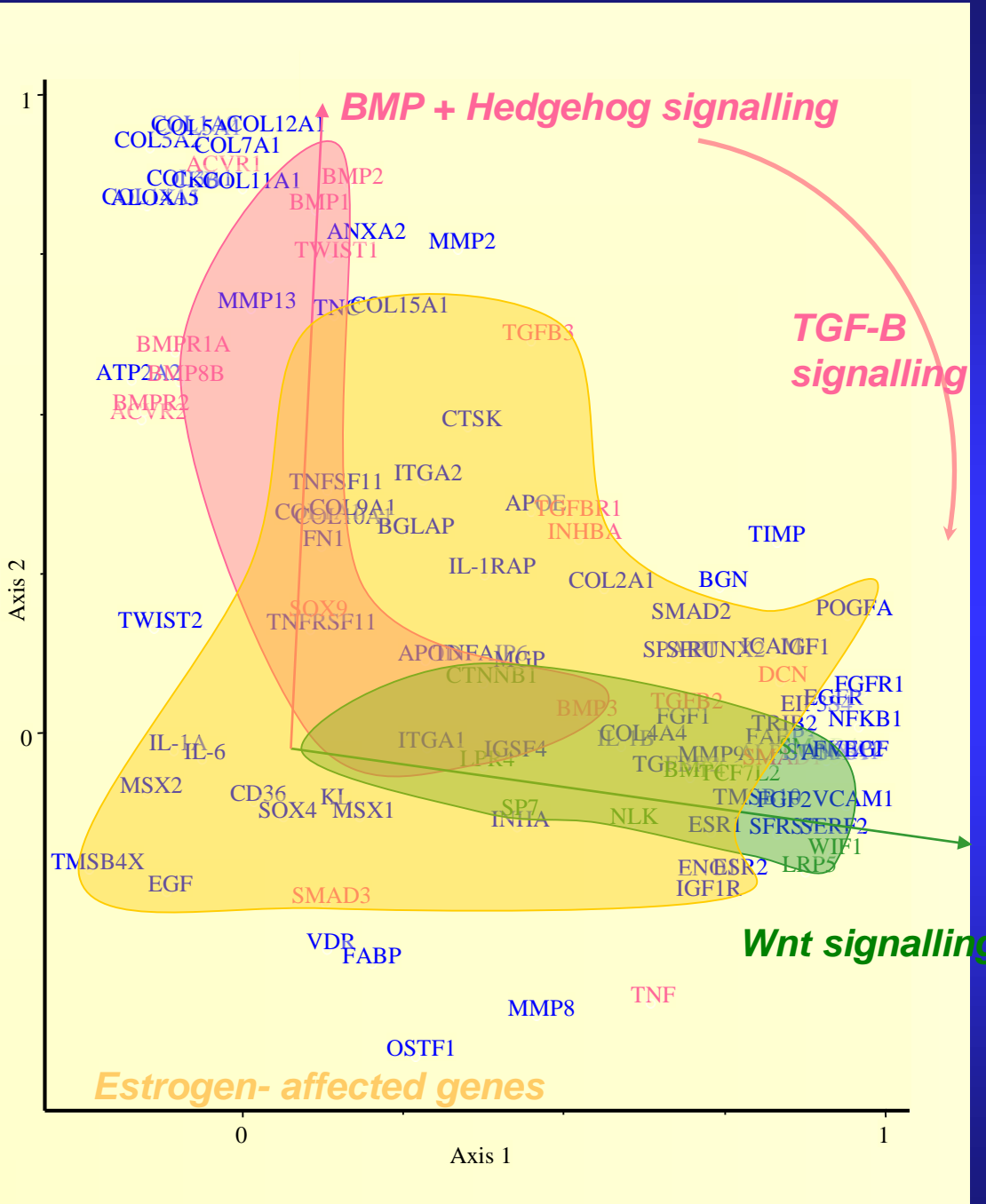
A porotikus (kék) és kontroll (piros)
minták keveredése referencia gének
esetén

- Gyurjan J et al, Mol Genet Genomics 2007. 277:221-235.
 Borsy A et al, Mol Genet Genomics. 2009. 281(3):301-313.
 Stéger V et al, Mol Genet Genomics, 2010. 284:273–287.
 Bana NA et al, Mol Genet Genomics. 2018 Jan 2. doi:
 10.1007/s00438-017-1412-3.

Jelátviteli utak

Főkomponens analízis y

- Wnt génjeink:*
- *LRP5*
 - *LRP4*
 - *NLK*
 - *CtnnB*
 - *TCF7L2*
 - *SP7*
 - *WIF1*



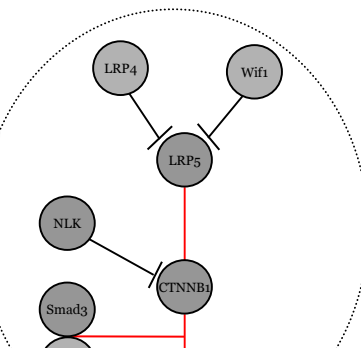
Gyurjan J et al, Mol Genet Genomics 2007. 277:221-235.
 Borsy A et al, Mol Genet Genomics. 2009. 281(3):301-313.
 Stéger V et al, Mol Genet Genomics, 2010. 284:273–287.

Humán vizsgálatok

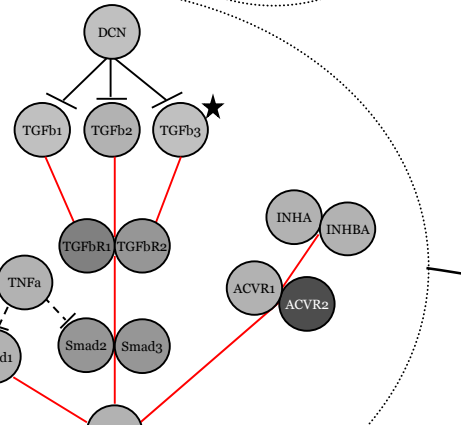
• A humán vizsgálatokat mindenkorban végezzük el.

A gének csoportosítása szignál útvonalak ill. funkció szerint

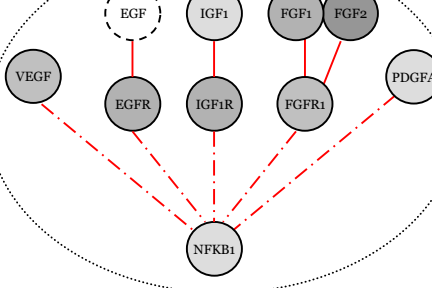
Wnt signaling



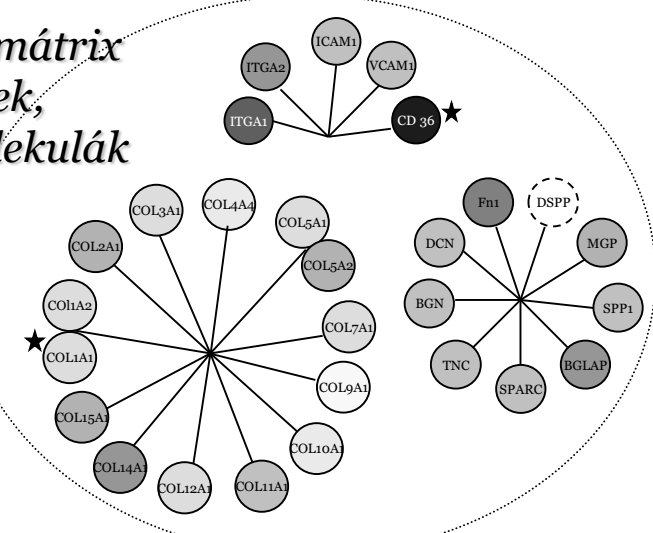
TGF β / BMP signaling



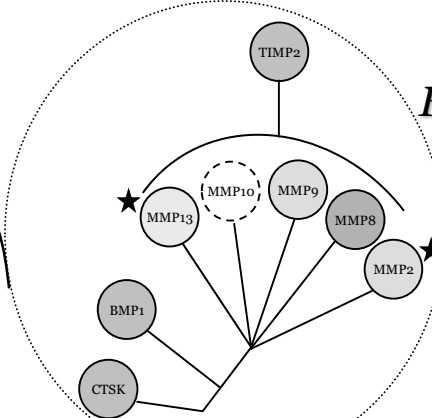
Növekedési faktor signaling



Extracelluláris mátrix komponensek, sejtadhéziós molekulák



ECM bontó enzimek

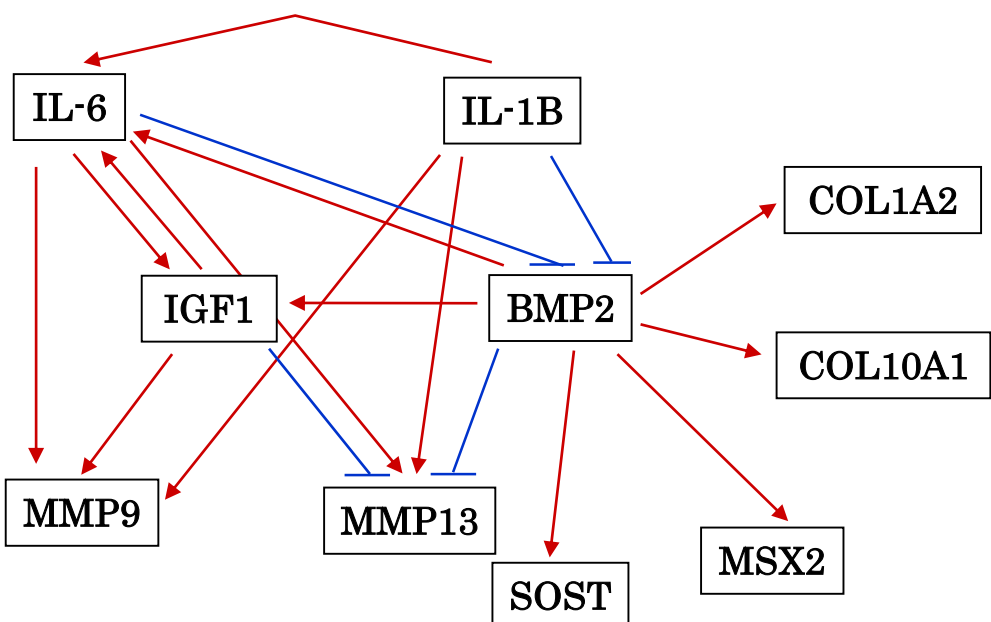


Génexpresszió **növekedés**
osteoporosisban

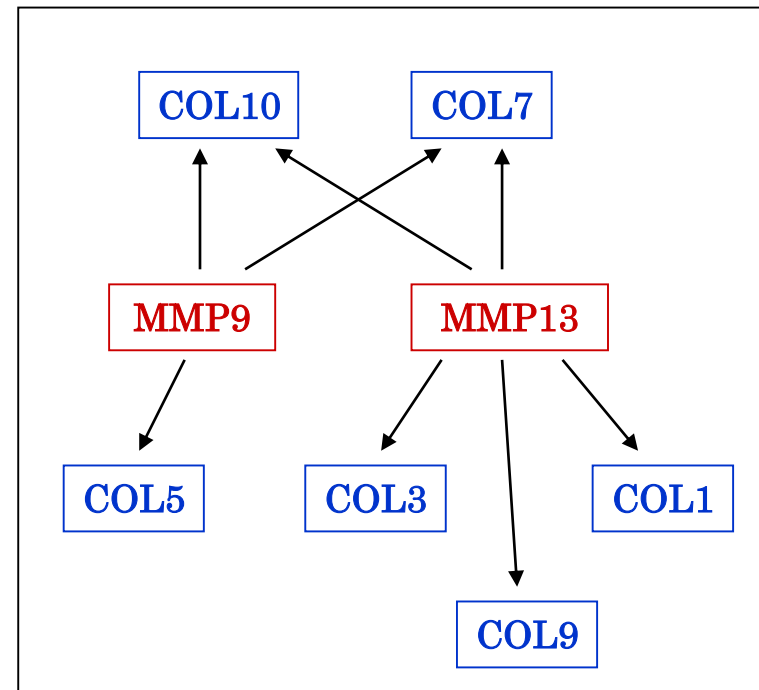
Génexpresszió **csökkenés**
osteoporosisban

Interakciós hálózatok – Interaktomika szint

Protein ill. RNS szintű regulációs kapcsolatok



Enzim – Szubsztrát kapcsolatok

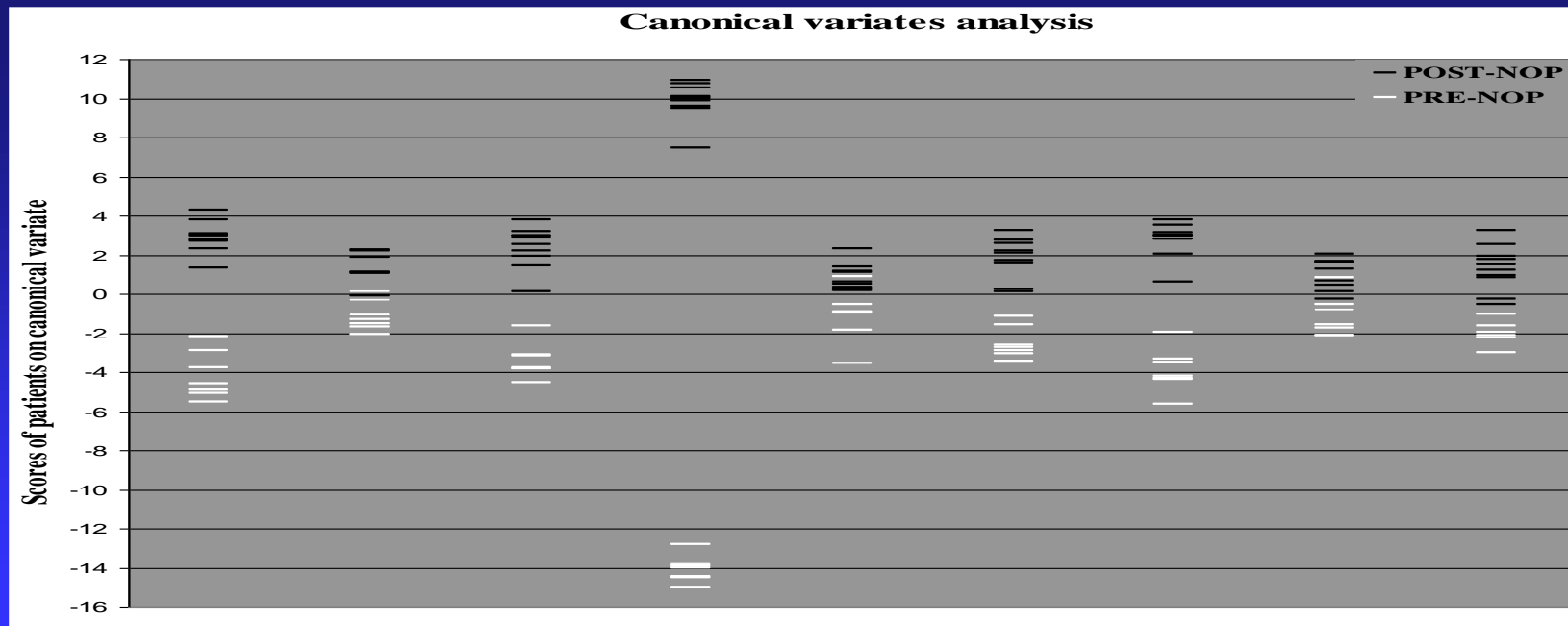


Gyurjan J et al, Mol Genet Genomics 2007. 277:221-235.

Borsy A et al, Mol Genet Genomics. 2009. 281(3):301-313.

Stéger V et al, Mol Genet Genomics, 2010. 284:273–287.

Bana NA et al, Mol Genet Genomics. 2018 Jan 2. doi: 10.1007/s00438-017-1412-3.



ECM ($p \leq 0.05$)	TGF β /BMP ($p \leq 0.05$)	ER-alpha	ER-beta	Lipid metabolism	Growth factors/ MAPK	TGF β /activin/nodal	WNT pathway	BMP pathway	
Gene name	Corr. with CV	Gene name	Corr. with CV	Gene name	Corr. with CV	Gene name	Corr. with CV	Gene name	Corr. with CV
BGLAP	0.720	TGFB3	0.981	MMP9	0.250	COL7A1	0.041	FABP4	0.384
MGP	0.624	TGFB2	0.723	IGF1	0.079	VEGF	-0.040	APOD	0.296
COL15A1	0.520	SMAD4	0.711	VEGF	-0.042	BMP4	-0.154	ALOX15	0.275
FN1	0.482	TGFB2R2	0.702	BMP2	-0.162	TNF	-0.175	LRP5	0.222
COL2A1	0.476	BMPR1A	0.678	TGFB1	-0.188	TGFB1	-0.179	FABP3	-0.183
MMP13	0.452			CTNNB1	-0.192	COL11A1	-0.309	NFKB1	-0.376
COL12A1	0.412			BMP2	-0.384	TWIST1	-0.371	EGFR	-0.424
COL5A1	0.408			OPG	-0.385	SPP1	-0.412	PDGFA	-0.480
COL3A1	0.381			MMP13	-0.459	BMP3	-0.426	FGF1	-0.523
COL5A2	0.339			PDGFA	-0.461	PDGFA	-0.439	FGFR1	-0.621
COL9A1	0.276			TGFB2	-0.545	SOX9	-0.448	TGFB1	0.186
BMP1	0.238			RUNX2	-0.631	FGF1	-0.480	INHA	0.136
				TGFB3	-0.740	TGFB2R2	-0.504	SMAD2	0.237
					ALPL	-0.513	ACVR1	0.363	
					TGFB2	-0.525	ACVR2	0.281	
					RUNX2	-0.601	WIF1	0.502	
							SMAD3	-0.044	
							SMAD4	0.717	
							LRP4	0.615	
							SMAD4	0.638	
							NLK	0.591	
							TGFB2	0.536	
							WIF1	0.523	
							TGFB2R2	0.523	
							CTNNB1	0.252	
							LRP5	0.219	
							BMPR1A	0.570	
							BMP3	0.481	
							BMP2	0.425	
							BMPR2	0.292	
							BMP4	0.179	
							SMAD1	0.160	
							BMP8A	0.082	
							BMP8B	-0.437	

Gyurjan J et al, Mol Genet Genomics 2007. 277:221-235.

Borsy A et al, Mol Genet Genomics. 2009. 281(3):301-313.

Balla B et al, Clin Immunol. 2009. 131:354-359

Kósa JP et al, Menopause 2009. 16(2): 367-377.

Kósa JP et al, J Clin Immunol. 2009. 29:761-768.

Balla B et al, Immunológiai Szemle. 2009. 1:13-20.

Kiss J et al, Am J Med Genet A 2010. 152A(9):2211-2220.

Stéger V et al, Mol Genet Genomics, 2010. 284:273–287.

Kiss J et al, Orv Hetil. 2010. 151(40):1656-65.

Balla B et al, LAM 2010. 20(10):667-675.

Balla B et al, Disease Markers 2011. 31(1):25-32.

Bana NA et al, Mol Genet Genomics. 2018 Jan 2. doi: 10.1007/s00438-017-1412-3.

Mire használhatjuk a szarvastól tanultakat?

- Új diagnosztikus markerek kijelölése
- Új terápiás célpontok kijelölése

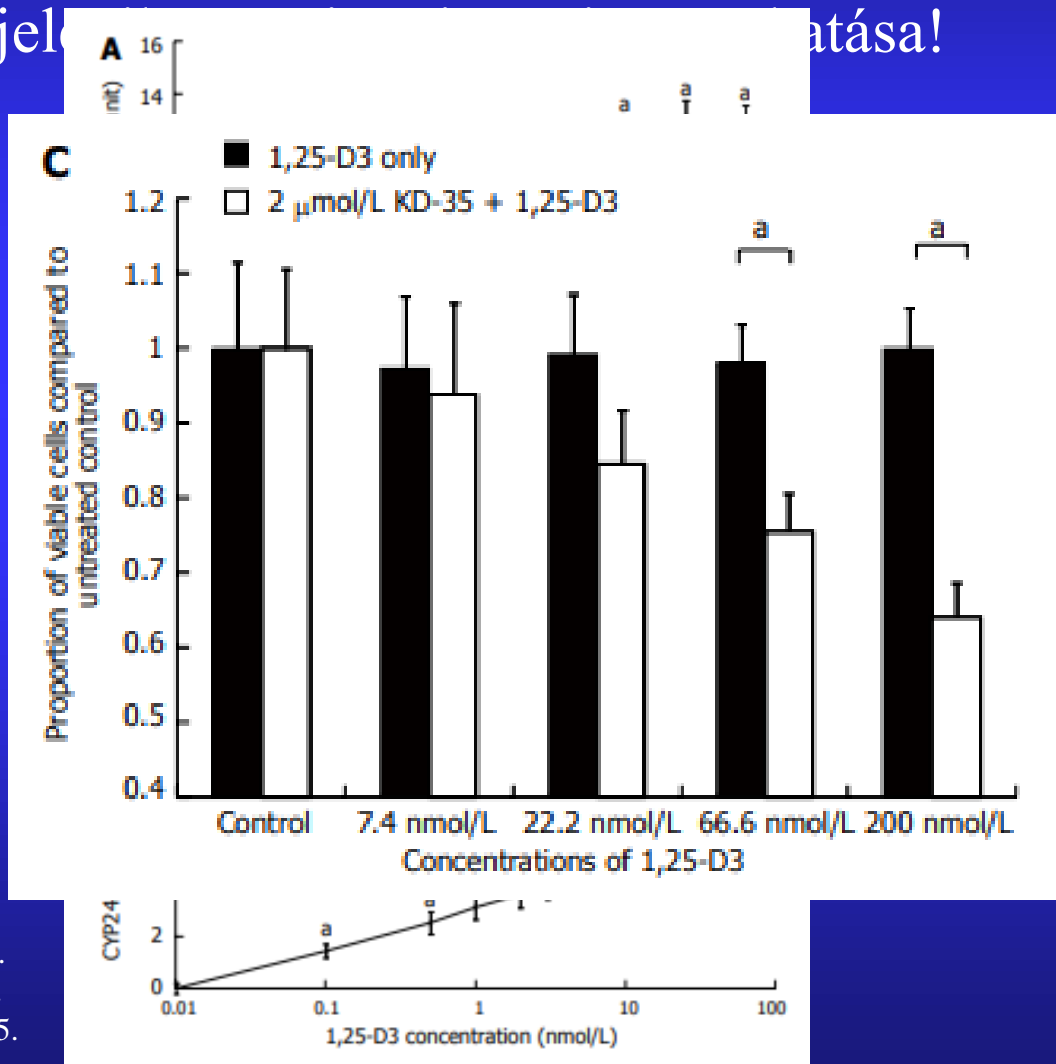
CYP24A1 expresszió

- A CYP24A1 (24-hidroxiláz) a calcitriol-neutralizáló enzim
- Fokozott expresszió colon és máj cc-ben
- CYP24A1 gátlásnál megjelenik a cellatáta!

KD-35



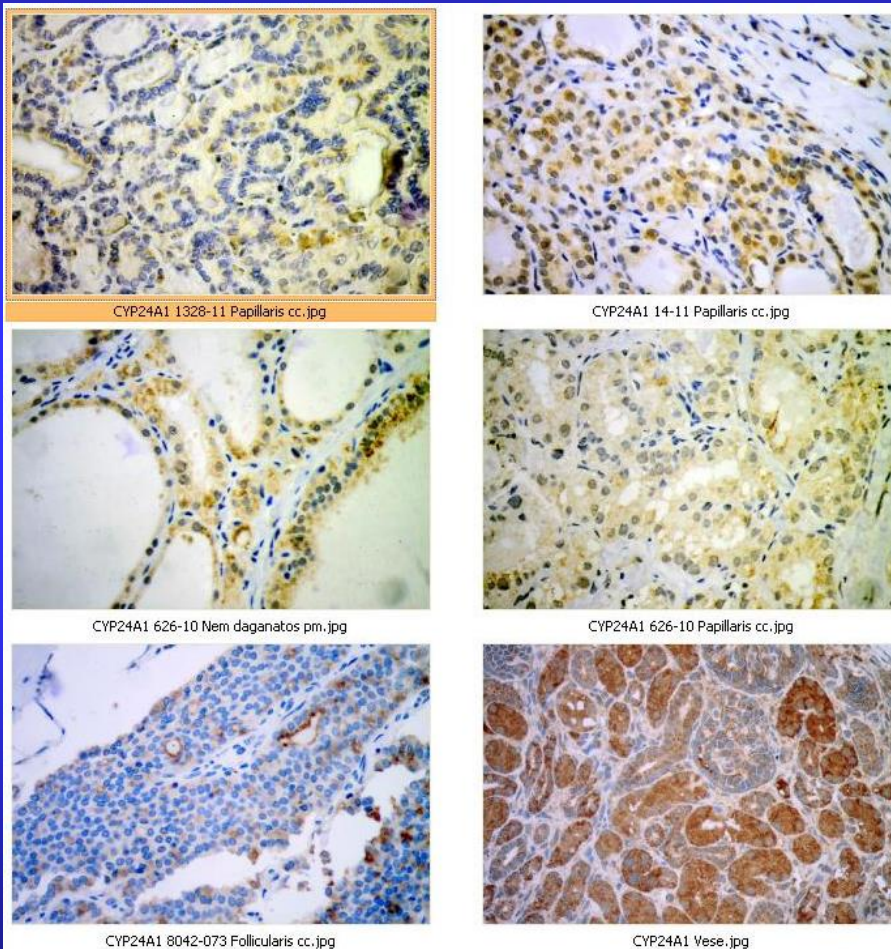
Wölfling János



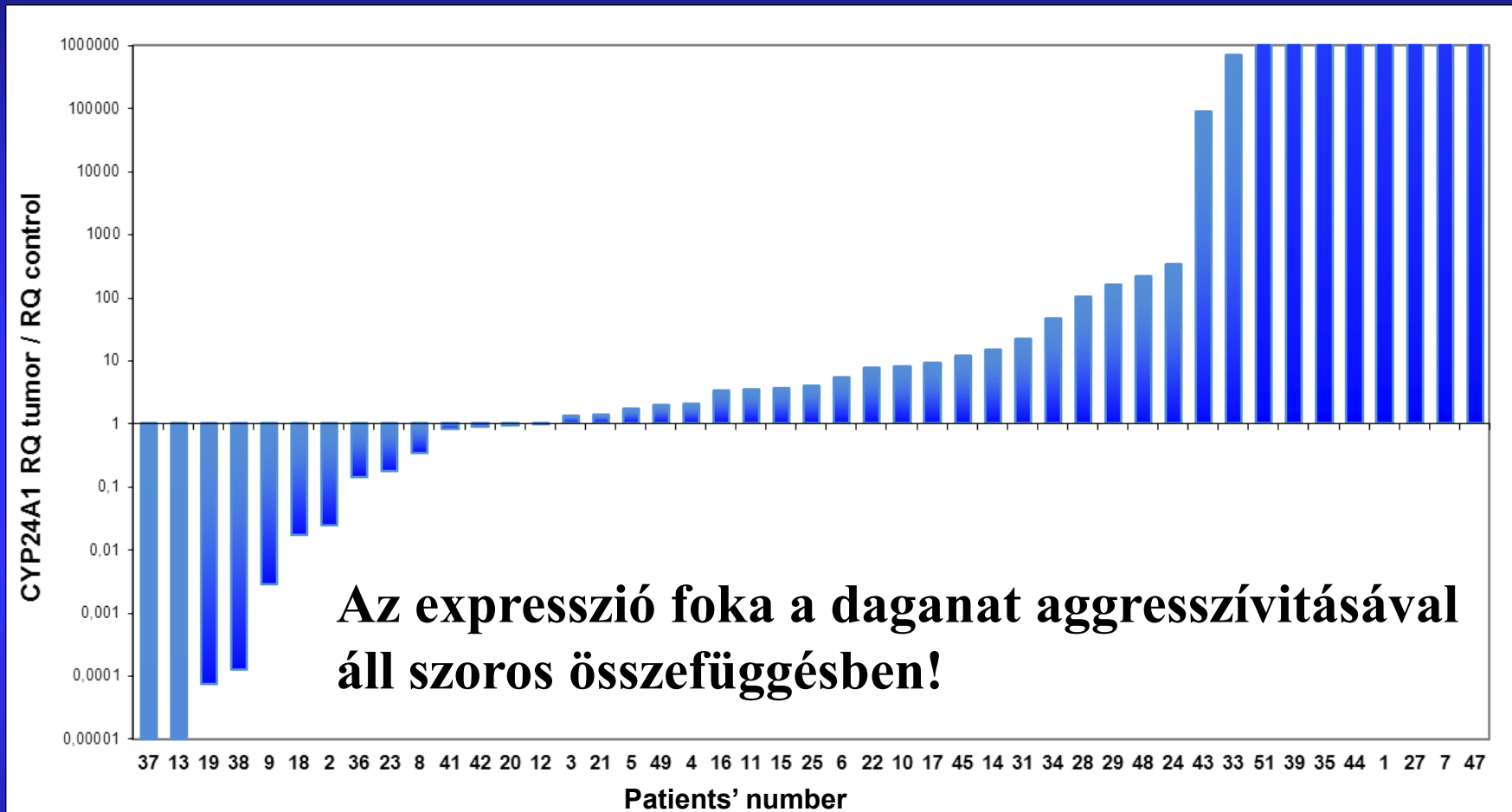
- Horáth P et al, Magyar Belorvosi Archívum, 2011. 5:266-272.
Kosa JP et al, World J Gastroenterol 2013. 19(17):2621-2628.
Horvath HC et al, J Histochem Cytochem. 2010. 58(3):277-85.
Horvath E et al, Anticancer Res 2012. 32(11):4791-4796.

CYP24A1 expresszió pm tumorokban

- A CYP24A1 fokozott expressziója differenciált pajzsmirigy tumorokban!



A CYP24A1 gén expresszió változása 51 PTC-ben a normál pm szövethető képest



**A CYP 24 gátlása és/vagy D vitamin kezelés
hatékony anti-neoplasticus kezelés lehet
bizonyos daganatokban!**

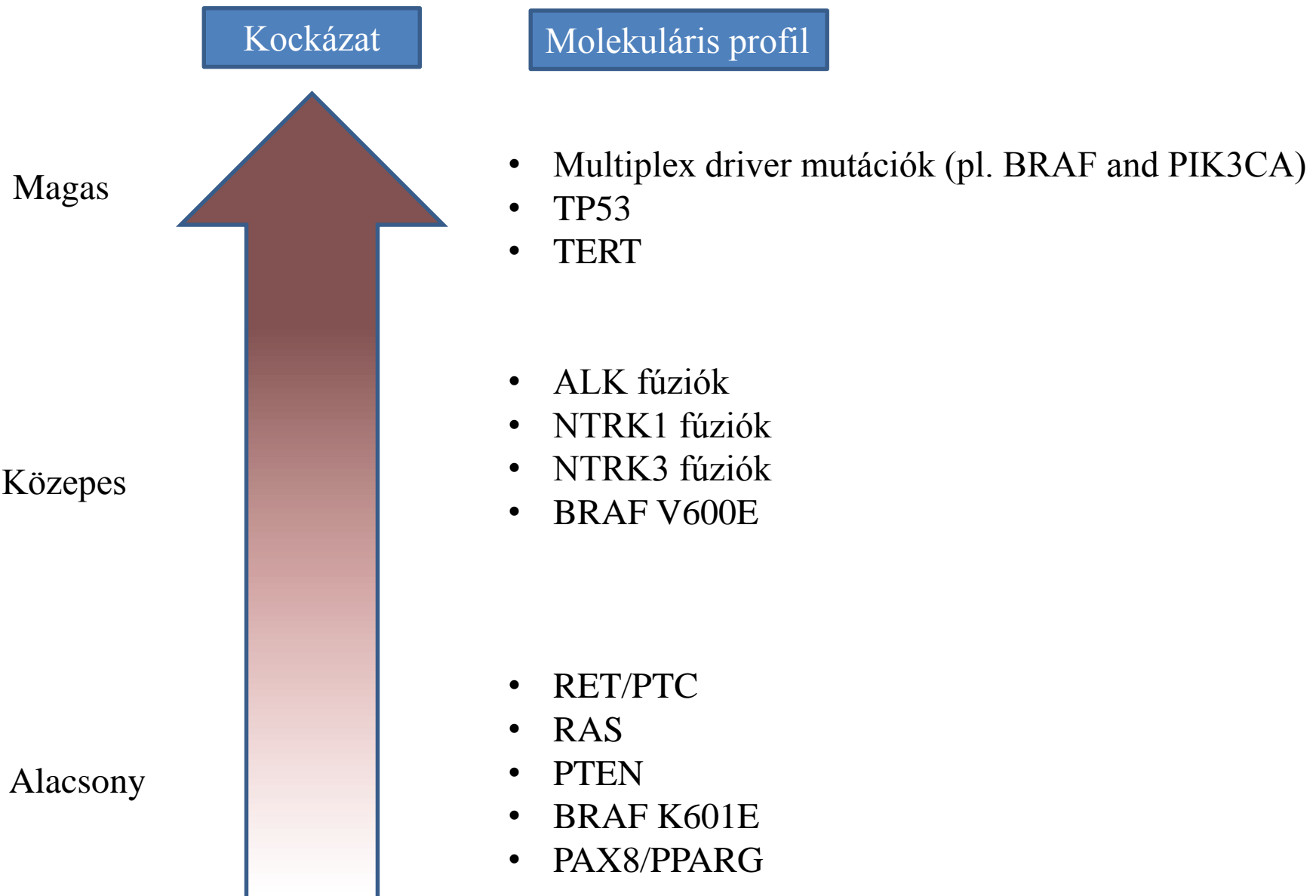
Genetikai eltérések DTC-ben Magyarországon

n=177	Age (year)
men (n=52)	52.9 ± 15.9
women (n=125)	50.3 ± 14.7

	Number of DNA samples	BRAF	HRAS	KRAS	NRAS
papillary cc.	154	59 (38,3%)	3 (1,95%)	1 (0,9%)	2 (1,3%)
follicular cc.	16	2 (16.7%)	1 (8.3%)	0	4 (25.0%)
other cc.	7	0	0	0	1 (14.3%)
normal tissue	163	0	0	0	0
total	340				

	Number of RNA samples	RET/PTC1	RET/PTC3
papillari cc.	97	7 (7,2%)	2 (2,1%)
follicular cc.	16	0	0
other cc.	7	0	0
normal tissue	120	0	0
total	240		

Daganat kockázat a molekuláris profil alapján



Pajzsmirigy hideg göböök követése 7 évig



Genetikai variációk	Frekvencia
BRAF	39
NRAS	23
HRAS	9
KRAS	1
RET/PTC3	1
73 (9%)	

- 779 citológiaileg benignus FNAB minta gyűjtése
- Genetikai tesztelés
- 7 éves követés
- Genetikai eltérések és a malignitás incidenciájának követése
- Genetikai variációk megjósolják a malignus transzformációt?

**57 tumor
27-ben genetikai eltérés (48%)**

Specificitás: 93.6%, szenzitivitás 47.4%
negativ prediktív érték: 95.8%
pozitív prediktív érték: 37.0%

ThyroCan™

Target gene	Analysis method
BRAF	targeted NGS, mutation analysis
KRAS	targeted NGS, mutation analysis
NRAS	targeted NGS, mutation analysis
HRAS	targeted NGS, mutation analysis
TERT	targeted NGS, mutation analysis
RET	targeted NGS, mutation analysis
TP53	targeted NGS, mutation analysis
AXIN1	targeted NGS, mutation analysis
APC	targeted NGS, mutation analysis
IDH1	targeted NGS, mutation analysis
SMAD4	targeted NGS, mutation analysis
MET	targeted NGS, mutation analysis
CTNNB1	targeted NGS, mutation analysis
PIK3CA	targeted NGS, mutation analysis
DICER1	targeted NGS, mutation analysis
VHL	targeted NGS, mutation analysis
PTEN	targeted NGS, mutation analysis
LPAR4	targeted NGS, mutation analysis
EIF1AX	targeted NGS, mutation analysis
GAS8-AS1	targeted NGS, mutation analysis
TSHR	targeted NGS, mutation analysis
AKT1	targeted NGS, mutation analysis
GNAS	targeted NGS, mutation analysis
TG	control gene-expression
PTH	control gene-expression

➤ NGS alapú módszer

➤ Jó prediktív érték

Szenzitivitás:

79%

Specificitás:

86%

Pozitív prediktív érték:

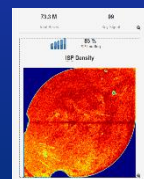
89%

Negatív prediktív érték:

75%

lási idő

- 23 rák gén + 2 szöveti kontroll gén
- 540 mutáció + 2 expresszió
- Platform: Ion Torrent PGM.



Pm molekuláris tesztek

RoSetta GX Reveal RoSetta Genomics, Inc.	Afirma GEC Veracyte	ThyGenX/ThyreMIR Interpace DX	ThyroSeqv2 CBL PATH/UPMC
miRNA Classifier containing 24 miRNAs (miRNAs are highly stable)	mRNA Classifier (mRNA is not stable and degrades over time)	Mutation Panel + miRNA classifier containing 10 miRNAs	Next-gen Mutation Panel Thyroid content control
Test is run off of an existing smear or ThinPrep Slide - No additional FNA or repeat biopsy is required	4 passes are required (2 for cytology and 2 for the GEC)	I dedicated FNA pass collected in special preservative Also offering testing off of smears	1-2 drops of thyroid FNA in provided collection tube.
No special shipping requirements	Must be shipped on cool packs	No special shipping requirements	Ship with cool pack.
7-10 Day TAT	14 Day TAT (cytology + Afirma GEC)	14+ Business Day TAT	7-10 Day TAT
85% Sensitivity	94% NPV** (24% ROM in study – Begins to decline with higher ROM)	94% NPV***	94 – 98% NPV
90% NPV	92% Sensitivity**	89% Sensitivity*** (This validation study has been criticized because it looks at the old multiform oncogene panel and not ThyGenX)	90% Sensitivity
60% Specificity	47% PPV** (AUS/FLUS = 37%, FN=38%)	74% PPV*** (This validation study has been criticized because it looks at the old multiform oncogene panel and not ThyGenX)	71 – 83% PPV
72% PPV	52% Specificity**	85% Specificity*** (This validation study has been criticized because it looks at the old multiform oncogene panel and not ThyGenX)	92% Specificity
Can detect Medullary Thyroid Carcinoma	Can detect Medullary Thyroid Carcinoma	CANNOT detect Medullary Thyroid Carcinoma	Detects MTC
Medicare Reimbursement	Medicare Reimbursement	Medicare Reimbursement	Medicare Reimbursement
Patient Assistance Program (RoSetta Relief Program)	Patient Assistance Program (Afirma Access Program)	Patient Assistance Program (Compass Program)	Patient Assistance Program

A kalciumanyagcsere vizsgálata:

Honnan hová jutottunk?

- Új lehetőségek a csontanyagcsere betegségek diagnosztikájára és kezelésére.
- A kalciumanyagcsérében résztvevő szereplők felhasználása a daganatos betegségek diagnosztikájában és gyógyításában.
- Erre alapozva komplett génpantelek kialakítása daganatkockázat megítélésére.

Köszönöm a figyelmet!

